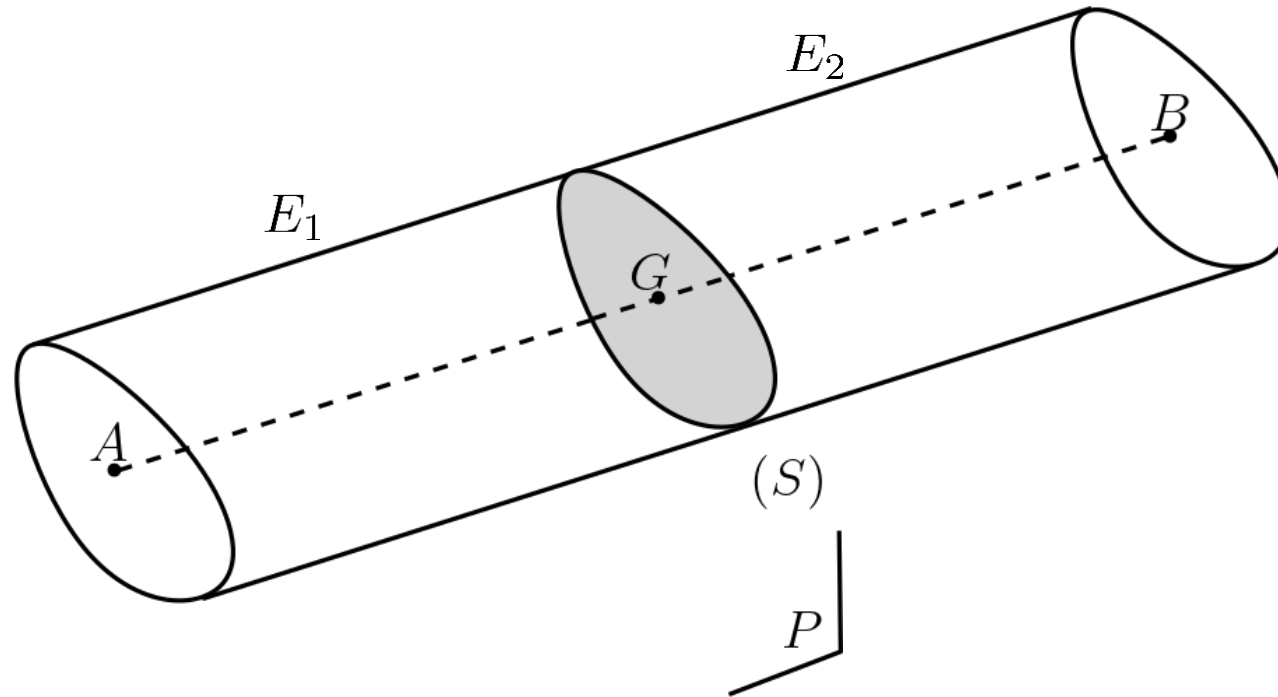


# Plan du cours :

- + Chapitre 1 : Introduction à la RdM –Rappels sur la statique des solides
- + **Chapitre 2 : Torseurs des efforts intérieurs**
- + Chapitre 3 : Sollicitations élémentaires : Traction et compression
- + Chapitre 4 : Sollicitations élémentaires : cisaillement

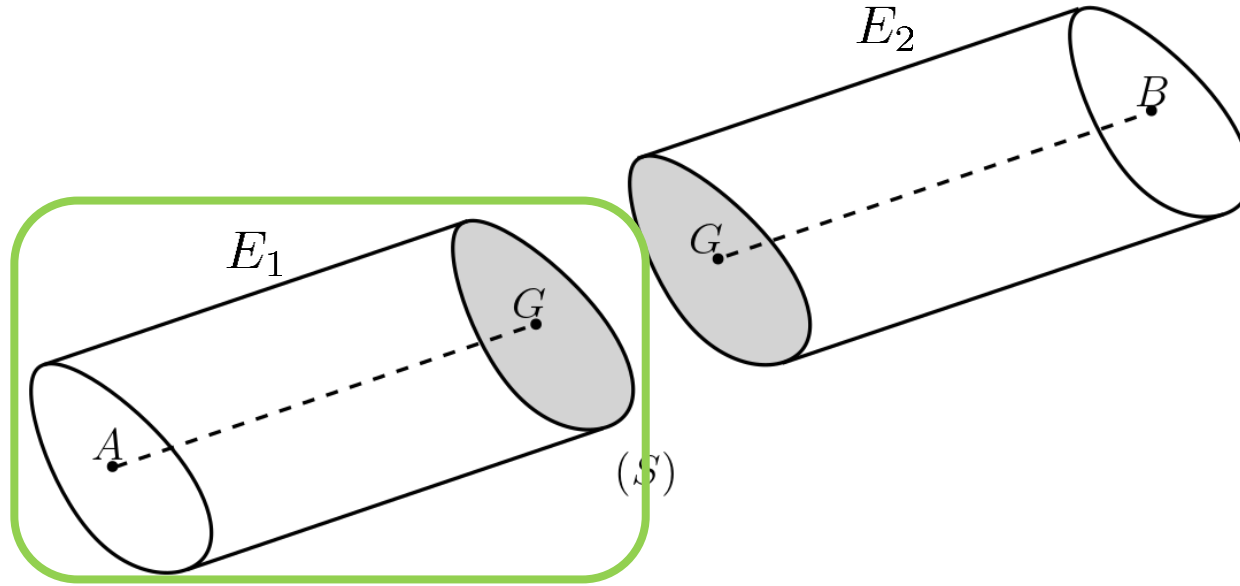
# Efforts intérieurs :

On considère une poutre que l'on oriente du point A vers le point B.



On **sépare artificiellement** au point G d'abscisse  $x$  la poutre en deux parties :  
 $E_1$  pour la partie gauche (amont) et  $E_2$  pour la partie droite (avale)

A partir de la coupure, on peut isoler un des 2 tronçons de la poutre, (ici on isole  $E_1$ ):



Ce tronçon est soumis à une partie des actions mécaniques extérieures  $\{\mathcal{T}_{ext \rightarrow E_1}\}$  **et aussi** aux actions de la partie avale  $E_2$  sur la partie amont  $E_1$  à travers de la section (S).

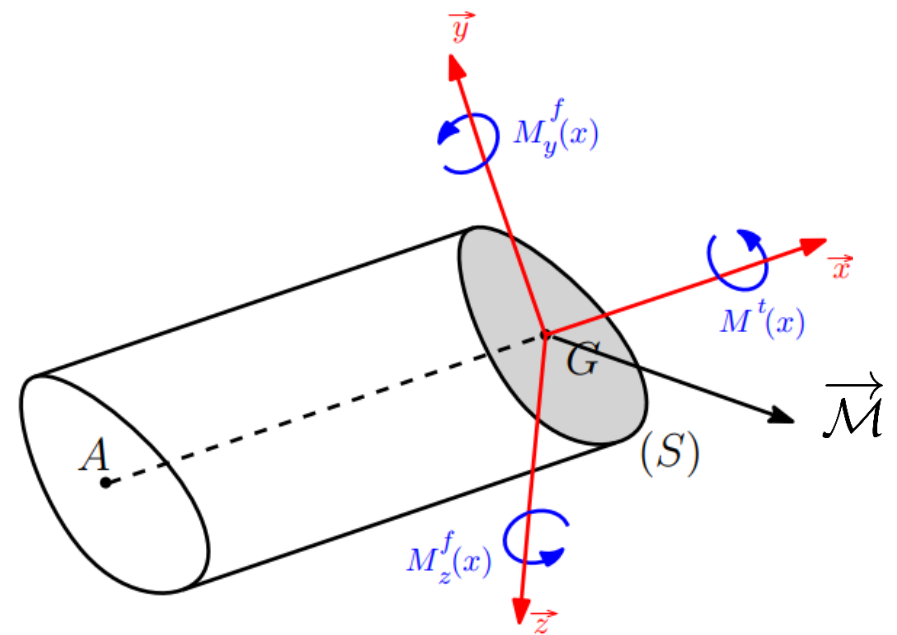
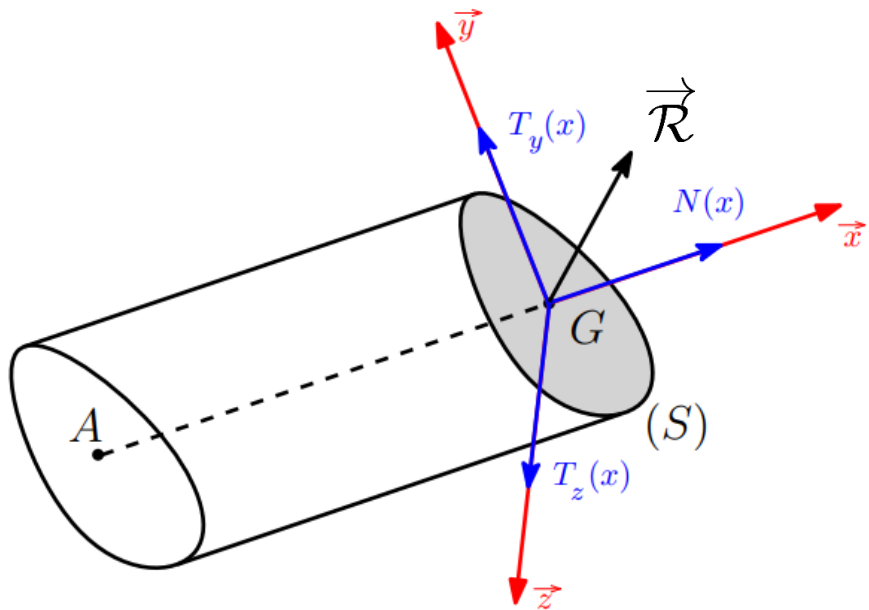
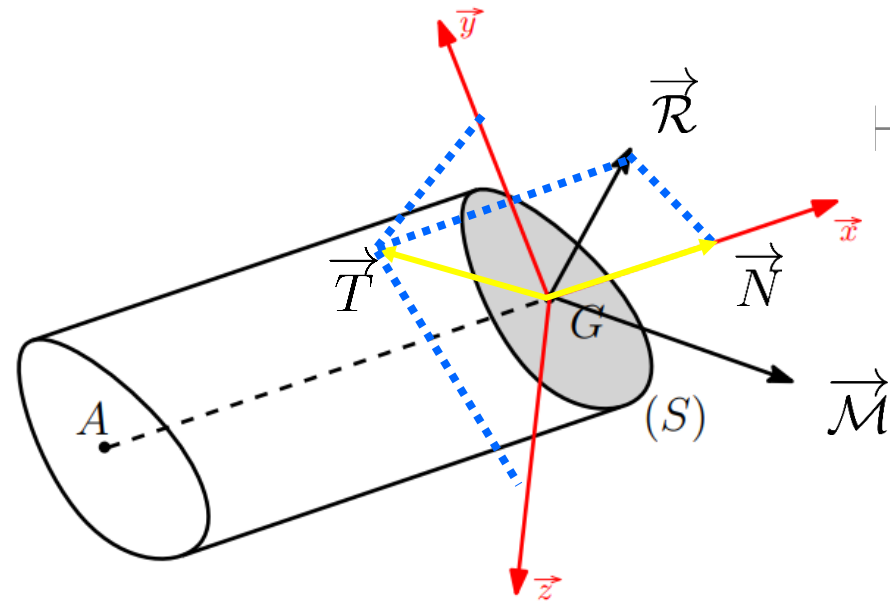
**Par définition (convention)**, le torseur des actions mécaniques de  $E_2$  sur  $E_1$  est appelé **torseur des efforts intérieurs**

$$\left\{ \mathcal{T}_{\text{int}} \right\}_G = \left\{ \mathcal{T}_{E_2 \rightarrow E_1} \right\}_G = \left\{ \vec{\mathcal{R}}(x) \quad \vec{\mathcal{M}}(x) \right\}_G$$

Torseur des efforts intérieurs  $\equiv$  Torseur de cohésion  $\equiv$  Torseur de section

Cette liaison (les efforts et les moments qu'elle transmet) assure la cohésion des éléments de la poutre.

$$\{\mathcal{T}_{\text{int}}\}_G = \{\vec{\mathcal{R}}(x) \quad \vec{\mathcal{M}}(x)\}_G$$



La résultante  $\vec{\mathcal{R}}$  se projette sur l'axe  $(G, \vec{x})$  normal à  $(S)$  en  $\vec{N}$  et sur le plan  $(G, \vec{y}, \vec{z})$  plan de la section droite  $(S)$  en  $\vec{T}$ :

$$\vec{\mathcal{R}} = \vec{N} + \vec{T} = (\text{effort normal}) + (\text{effort tranchant})$$

Le moment  $\vec{\mathcal{M}}$  se projette sur l'axe  $(G, \vec{x})$  normal à  $(S)$  en  $\vec{M}^t$  et sur le plan  $(G, \vec{y}, \vec{z})$  de la section droite  $(S)$  en  $\vec{M}^f$ :

$$\vec{\mathcal{M}} = \vec{M}^t + \vec{M}^f = (\text{moment de torsion}) + (\text{moment de flexion})$$

# Récapitulatif :

$$\left\{ \mathcal{T}_{int} \right\}_{G,R} = \left\{ \vec{\mathcal{R}} \quad \vec{\mathcal{M}} \right\}_{G,R} = \left\{ \begin{array}{cc} N & M^t \\ T_y & M_y^f \\ T_z & M_z^f \end{array} \right\}_{G,R}$$

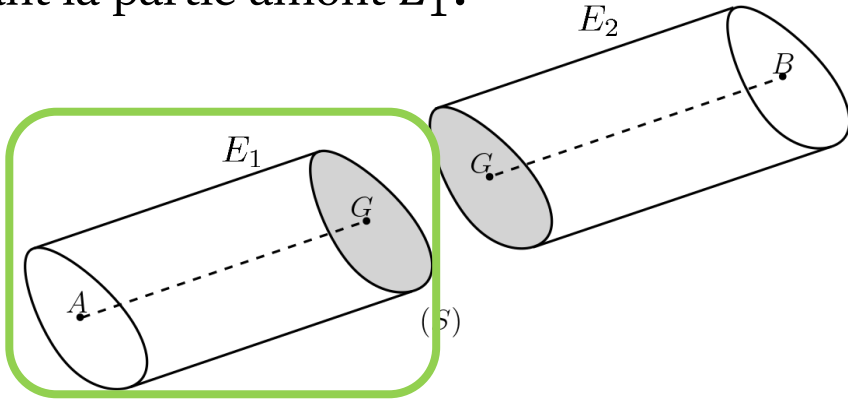
| Composante           | Symbole            | Caractéristique  |
|----------------------|--------------------|--|
| Effort normal        | $N$                | perpendiculaire à la section droite  |
| Efforts tranchants   | $T_y$ ou $T_z$     | ont tendance à trancher la poutre<br>perpendiculairement à la ligne moyenne                  |
| Moment de torsion    | $M^t$              | a tendance à tordre la poutre autour<br>de la ligne moyenne                                  |
| Moments fléchissants | $M_y^f$ ou $M_z^f$ | ont tendance à faire fléchir la poutre autour<br>d'un axe perpendiculaire à la ligne moyenne |

En fonction de la nullité ou non des composantes du tenseur de cohésion, on peut identifier un certain nombre de sollicitations dites *élémentaires* qui sont caractéristiques des cas de charges couramment rencontrés. Le tableau ci-dessous résume ces différentes sollicitations élémentaires.

| Sollicitation élémentaire | Composante(s) non nulle(s)                             | $\{\mathcal{T}_{\text{int}}\}$   |
|---------------------------|--|--|
| Traction/Compression      | $N$  | $\begin{Bmatrix} N & 0 \\ 0 & 0 \\ 0 & 0 \end{Bmatrix}$  |
| Cisaillement pur          | $T_y$ ou $T_z$   | $\begin{Bmatrix} 0 & 0 \\ T_y & 0 \\ 0 & 0 \end{Bmatrix}$ ou $\begin{Bmatrix} 0 & 0 \\ 0 & 0 \\ T_z & 0 \end{Bmatrix}$         |
| Torsion                   | $M^t$  | $\begin{Bmatrix} 0 & M^t \\ 0 & 0 \\ 0 & 0 \end{Bmatrix}$  |
| Flexion pure              | $M_y^f$ ou $M_z^f$                                     | $\begin{Bmatrix} 0 & 0 \\ 0 & M_y^f \\ 0 & 0 \end{Bmatrix}$ ou $\begin{Bmatrix} 0 & 0 \\ 0 & 0 \\ 0 & M_z^f \end{Bmatrix}$     |
| Flexion simple            | $(T_y \text{ et } M_z^f)$ ou $(T_z \text{ et } M_y^f)$ | $\begin{Bmatrix} 0 & 0 \\ T_y & 0 \\ 0 & M_z^f \end{Bmatrix}$ ou $\begin{Bmatrix} 0 & 0 \\ 0 & M_y^f \\ T_z & 0 \end{Bmatrix}$ |

# Comment déterminer le torseur de cohésion ?

En isolant la partie amont  $E_1$ :



On applique le PFS sur  $E_1$  au point  $G$  :

$$\left\{ \mathcal{T}_{E_2 \rightarrow E_1} \right\}_{G,R} + \left\{ \mathcal{T}_{ext \rightarrow E_1} \right\}_{G,R} = \left\{ 0 \right\}_{G,R}$$

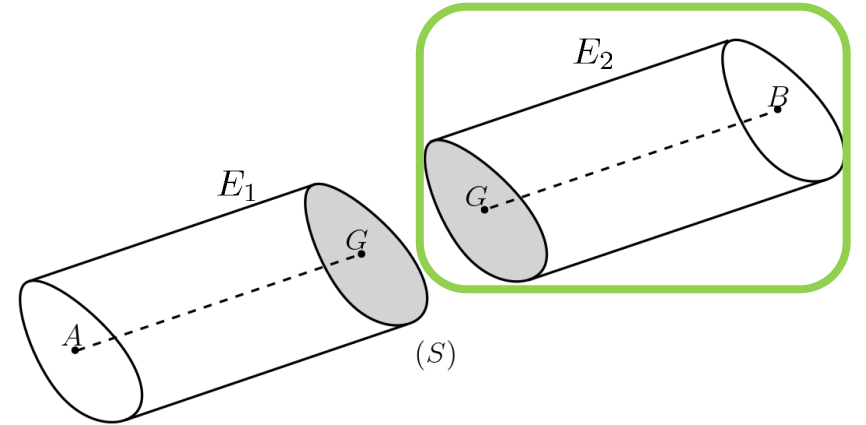
Comme  $\left\{ \mathcal{T}_{E_2 \rightarrow E_1} \right\}_{G,R} = \left\{ \mathcal{T}_{int} \right\}_{G,R}$

$$\left\{ \mathcal{T}_{int} \right\}_{G,R} + \left\{ \mathcal{T}_{ext \rightarrow E_1} \right\}_{G,R} = \left\{ 0 \right\}_{G,R}$$

$$\left\{ \mathcal{T}_{int} \right\}_{G,R} = - \left\{ \mathcal{T}_{ext \rightarrow E_1} \right\}_{G,R}$$



En isolant la partie aval  $E_2$ :



On applique le PFS sur  $E_2$  au point  $G$  :

$$\left\{ \mathcal{T}_{E_1 \rightarrow E_2} \right\}_{G,R} + \left\{ \mathcal{T}_{ext \rightarrow E_2} \right\}_{G,R} = \left\{ 0 \right\}_{G,R}$$

Comme  $\left\{ \mathcal{T}_{E_1 \rightarrow E_2} \right\}_{G,R} = - \left\{ \mathcal{T}_{E_2 \rightarrow E_1} \right\}_{G,R} = - \left\{ \mathcal{T}_{int} \right\}_{G,R}$

$$- \left\{ \mathcal{T}_{int} \right\}_{G,R} + \left\{ \mathcal{T}_{ext \rightarrow E_2} \right\}_{G,R} = \left\{ 0 \right\}_{G,R}$$

$$\left\{ \mathcal{T}_{int} \right\}_{G,R} = \left\{ \mathcal{T}_{ext \rightarrow E_2} \right\}_{G,R} \quad 8$$



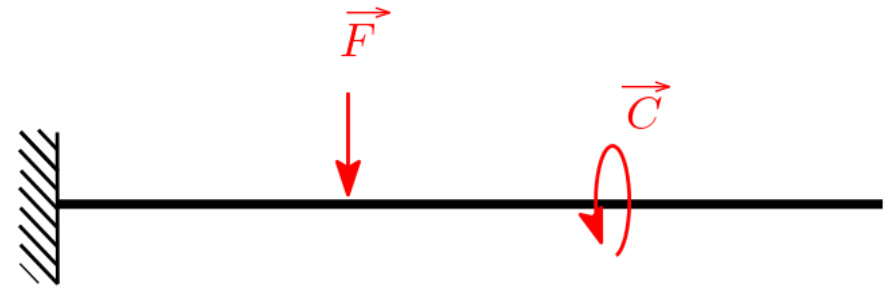
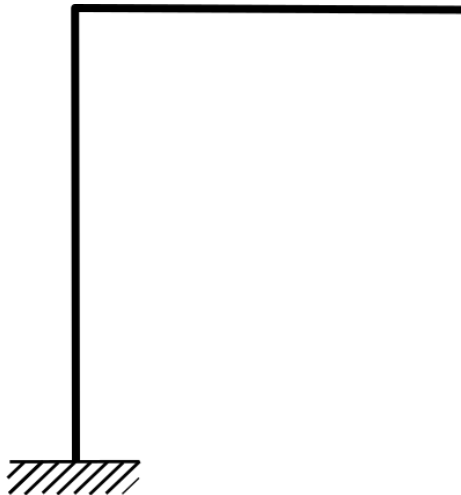
# Ce qu'il faut retenir :

Le torseur de cohésion permet de déterminer les actions mécaniques exercées à travers une coupure fictive de la partie  $E_1$  sur la partie  $E_2$ . Ce torseur s'exprime toujours au point  $G$  de la poutre étudiée.

$$\left\{ \mathcal{T}_{\text{int}} \right\}_{G,R} = - \left\{ \mathcal{T}_{\text{ext}} \rightarrow E_1 \right\}_{G,R} = \left\{ \mathcal{T}_{\text{ext}} \rightarrow E_2 \right\}_{G,R}$$

Le concepteur peut être amené à étudier **plusieurs coupures** sur une même poutre, on parle alors de **tronçon de poutre** notamment :

- Lorsque la poutre comporte une discontinuité géométrique (changement de direction de la ligne moyenne)
- Lorsque la poutre comporte une discontinuité liée à la présence d'actions mécaniques concentrées (efforts, moments, liaisons)



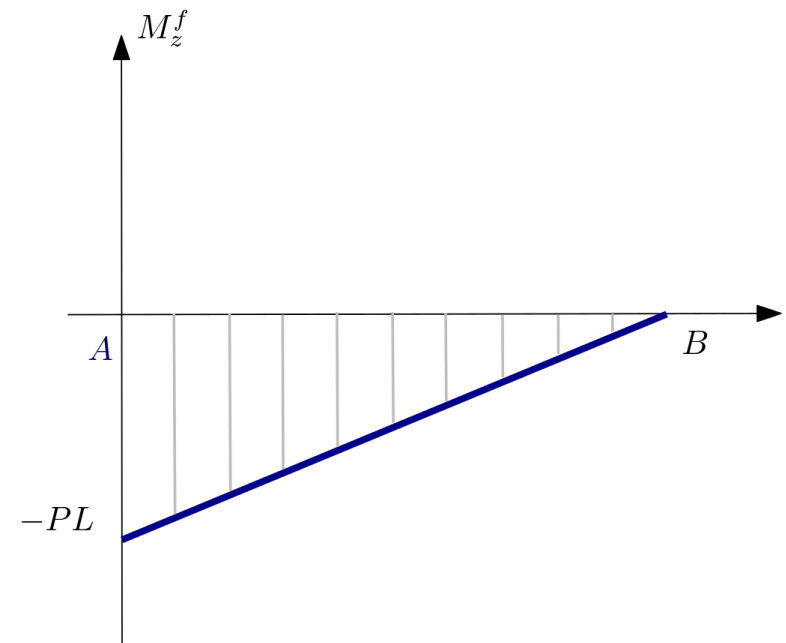
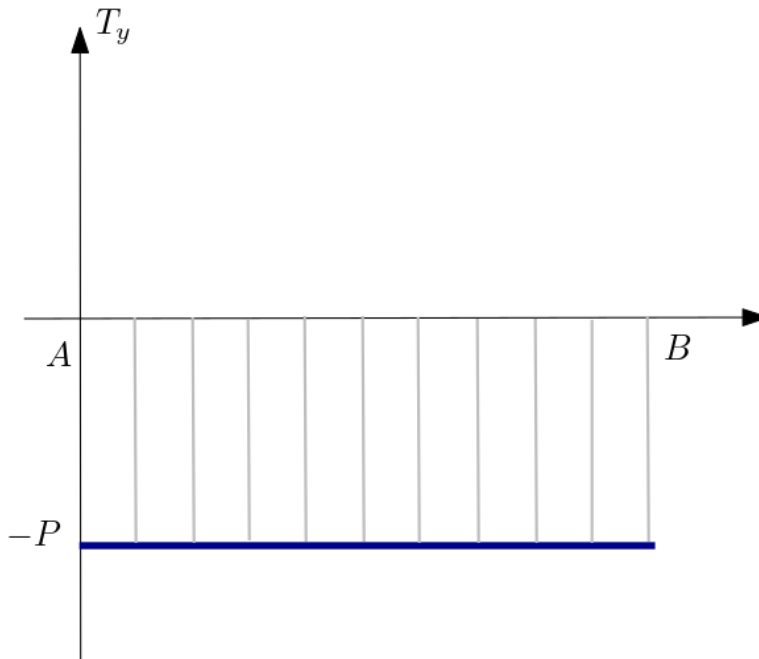
# Diagrammes de sollicitation: + + + +

Les diagrammes de sollicitation permettent de décrire l'évolution des éléments de réduction du torseur interne d'une structure.

Ces représentations sont utiles en dimensionnement pour repérer **la section de la poutre la plus sollicitée**.

Supposons que :

$$\left\{ \mathcal{T}_{int} \right\}_{G,R} = \left\{ \begin{array}{cc} 0 & 0 \\ -P & 0 \\ 0 & P(x - L) \end{array} \right\}_{G,R}$$



# Diagrammes de sollicitation : + + + +

Les diagrammes de sollicitation permettent de décrire l'évolution des éléments de réduction du torseur interne d'une structure.

Ces représentations sont utiles en dimensionnement pour repérer **la section de la poutre la plus sollicitée**.

$$\left\{ \mathcal{T}_{int} \right\}_{G,R} = \left\{ \begin{array}{l} N \\ T_y \\ T_z \end{array} \quad \begin{array}{l} M^t \\ M_y^f \\ M_z^f \end{array} \right\}_{G,R}$$

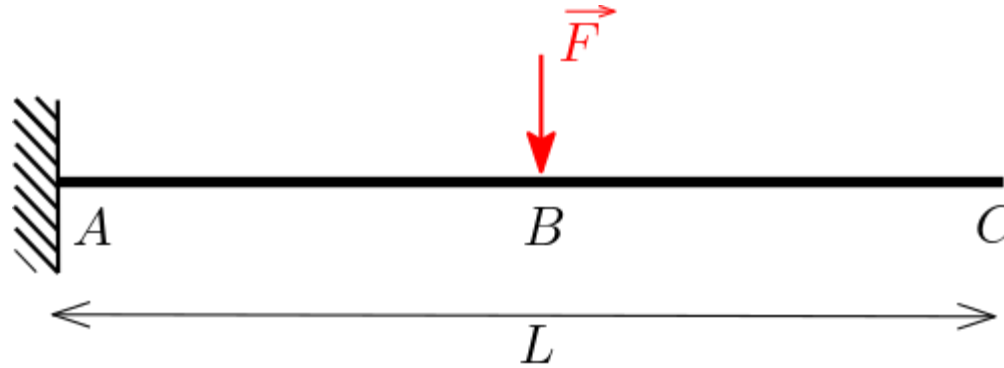
## Remarque :

Afin de vérifier les résultats obtenus, on démontre les relations suivantes entre les diagrammes d'effort tranchant et de moment de flexion :

$$\boxed{\frac{\partial M_y^f}{\partial x} = T_z} \quad \text{et} \quad \boxed{\frac{\partial M_z^f}{\partial x} = -T_y}$$

# Exercice :

Déterminer le torseur de cohésion le long de la poutre et tracer les diagrammes de sollicitation.



$$\left\{ \mathcal{T}_B \right\}_{B,R} = \begin{Bmatrix} 0 & 0 \\ -F & 0 \\ 0 & 0 \end{Bmatrix}_{B,R}$$

On considère deux tronçons :

**Tronçon BC :**  $\frac{L}{2} < x < L$

On coupe au point  $G$  d'abscisse  $x$  et on isole la partie  $E_2$   
(l'isolation de la partie amont  $E_1$  entraîne beaucoup de calcul)

$$\left\{ \mathcal{T}_{\text{int}} \right\}_{G,R} = \left\{ \mathcal{T}_{\text{ext}} \rightarrow E_2 \right\}_{G,R} = \left\{ 0 \right\}_{G,R}$$

**Tronçon AB :**  $0 < x < \frac{L}{2}$

On coupe au point  $G$  d'abscisse  $x$  et on isole la partie  $E_2$   
(l'isolation de la partie amont  $E_1$  entraîne beaucoup de calcul)

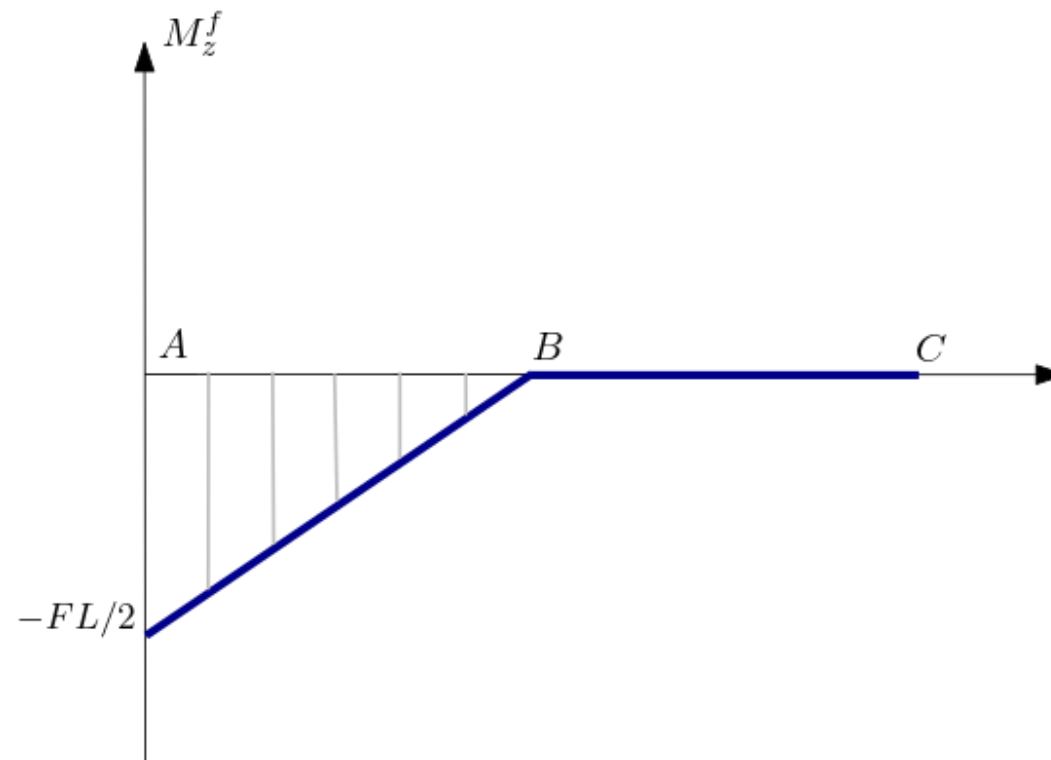
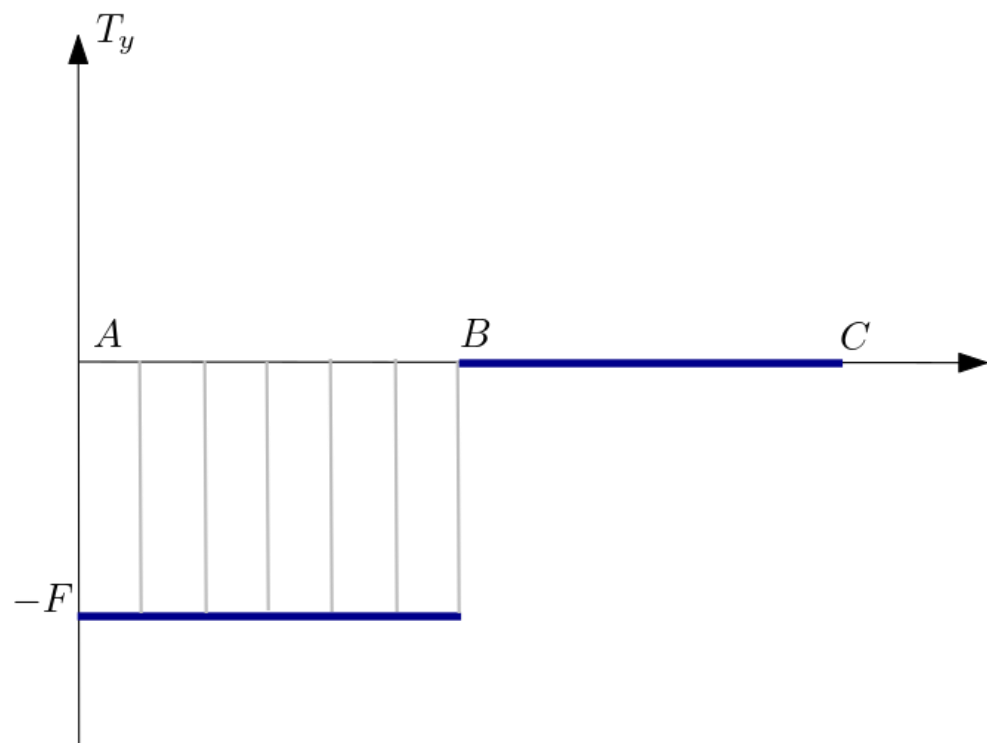
$$\left\{ \mathcal{T}_{\text{int}} \right\}_{G,R} = \left\{ \mathcal{T}_{\text{ext}} \rightarrow E_2 \right\}_{G,R} = \left\{ \mathcal{T}_B \right\}_{G,R}$$

$$\left\{ \mathcal{T}_{\text{int}} \right\}_{G,R} = \begin{Bmatrix} 0 & 0 \\ -F & 0 \\ 0 & F(x - \frac{L}{2}) \end{Bmatrix}_{G,R}$$

$$\left\{ \mathcal{T}_{\text{int}} \right\}_{G,R} = \left\{ \begin{array}{cc} 0 & 0 \\ -F & 0 \\ 0 & F(x - \frac{L}{2}) \end{array} \right\}_{G,R} \quad 0 \leq x \leq \frac{L}{2}$$

$$\left\{ \mathcal{T}_{\text{int}} \right\}_{G,R} = \left\{ \begin{array}{cc} 0 & 0 \\ 0 & 0 \\ 0 & 0 \end{array} \right\}_{B,R} \quad \frac{L}{2} \leq x \leq L$$

Les diagrammes de sollicitation sont les suivants :



# Notion de contrainte – Vecteur contrainte :

Les actions mécaniques de cohésion sont les efforts que le tronçon  $E_2$  exerce sur le tronçon  $E_1$  à travers de la section droite  $S$ . Nous modélisons ces actions par le tenseur des efforts intérieurs caractérisé au point  $G$ , centre d'inertie géométrique de la section droite.

Ce tenseur représente une vision globale sur la section droite des actions mécaniques qui s'appliquent localement en chaque point de la surface. Ces actions mécaniques locales sont réparties sur toute la surface.

Considérons un point  $M$  de la surface ( $S$ ). Considérons un petit élément de surface  $dS$  de normale  $\vec{n}$  autour du point  $M$ .

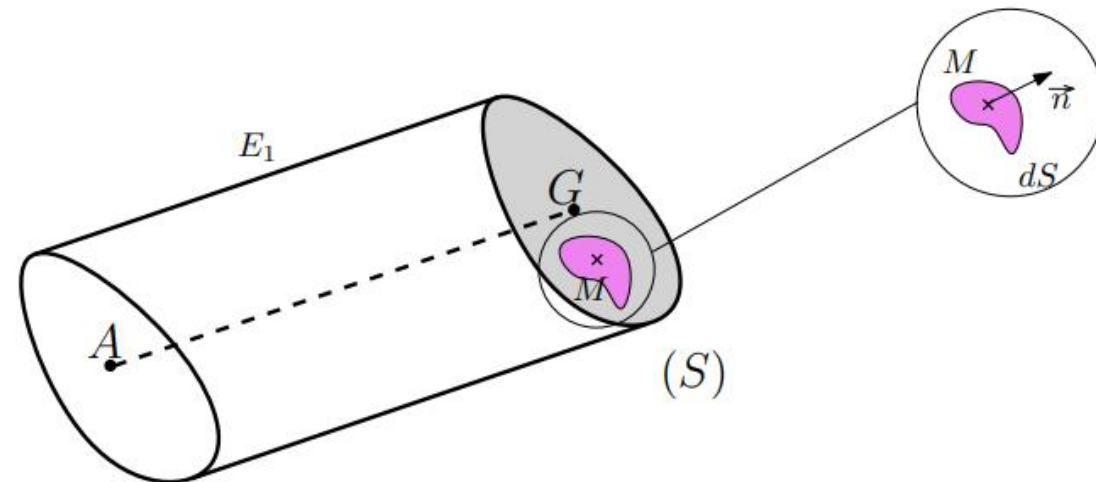
Sur  $dS$  s'exercent une partie seulement des efforts intérieurs :  $d\vec{F}(E_2 \rightarrow E_1)$

En introduisant l'unité de surface  $dS$ , on obtient :

$$d\vec{F}(E_2 \rightarrow E_1) = \boxed{\vec{T}(M, \vec{n})} \cdot dS$$

Vecteur contrainte = densité surfacique d'efforts  
= densité de force par unité de surface

L'unité du vecteur contrainte est le rapport (force)/(unité de surface)  
soit des  $N/m^2$  ou  $Pa$



# Contrainte normale et contrainte tangentielle

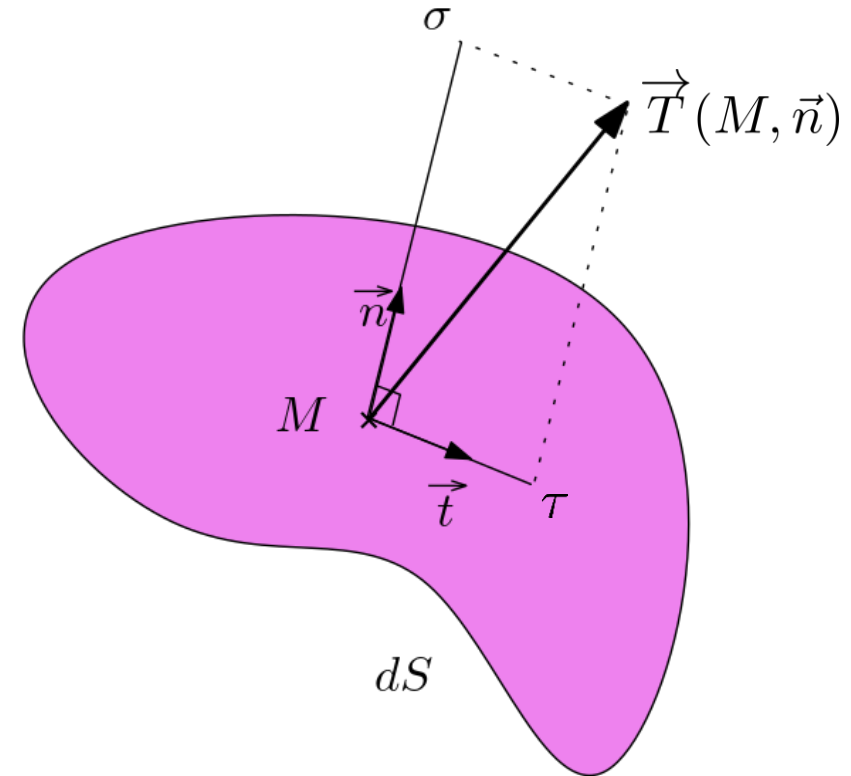
## Définition

Projetons le vecteur contrainte  $\vec{T}(M, \vec{n})$  sur :

$\vec{n}$  le vecteur normal à la surface  $dS$

$\vec{t}$  un vecteur tangent à la surface  $dS$

On peut donc écrire :  $\vec{T}(M, \vec{n}) = \sigma \vec{n} + \tau \vec{t}$



## Remarque :

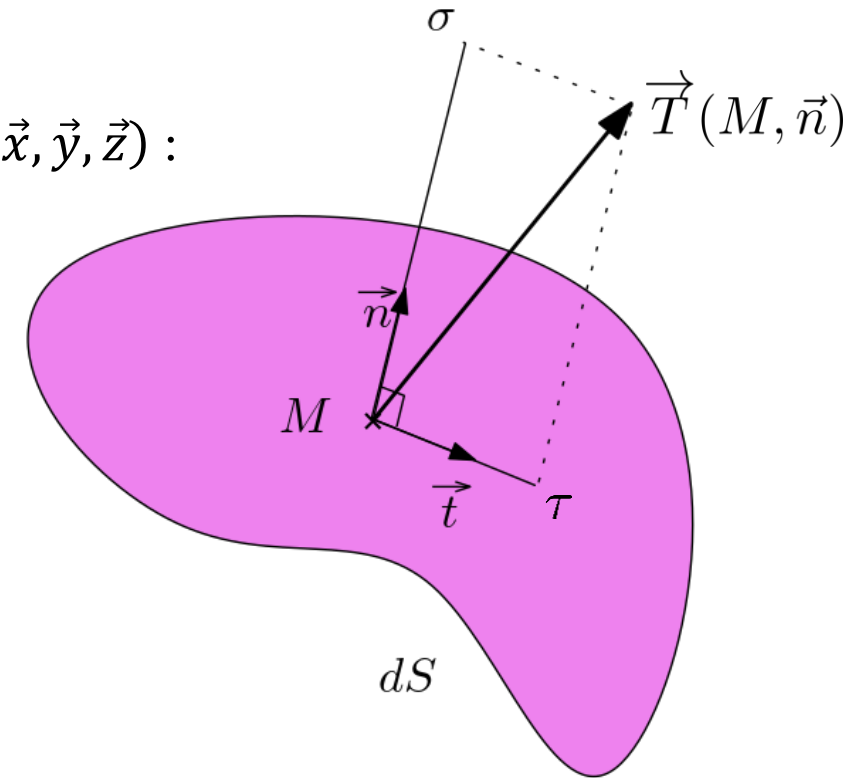
- La contrainte normale  $\sigma$  traduit les actions surfaciques locales de traction ou compression au sein de la matière
- La contrainte tangentielle  $\tau$  traduit les actions surfaciques locales de cisaillement au sein de la matière

# Contrainte normale et contrainte tangentielle

Décomposition dans le repère local :

Le vecteur contrainte  $\vec{T}(M, \vec{n})$  peut être exprimé dans le repère local  $(G, \vec{x}, \vec{y}, \vec{z})$  :

$$\vec{T}(M, \vec{n}) = \sigma \vec{n} + \tau \vec{t} = \sigma \vec{x} + \tau_y \vec{y} + \tau_z \vec{z}$$



$$\vec{T}(M, \vec{n}) = \vec{T}(M, \vec{x}) = \begin{Bmatrix} \sigma \\ \tau_y \\ \tau_z \end{Bmatrix} = \begin{Bmatrix} \sigma_{xx} \\ \tau_{yx} \\ \tau_{zx} \end{Bmatrix}$$

Axe de projection

Normale à la section



# Relation entre contraintes et sollicitations

Torseur des actions mécaniques sur  $dS$ , au point de réduction  $G$  :

$$\left\{ d\vec{F}(E_2 \rightarrow E_1) \quad \vec{0} \right\}_M = \left\{ d\vec{F}(E_2 \rightarrow E_1) \quad \overrightarrow{GM} \wedge d\vec{F}(E_2 \rightarrow E_1) \right\}_G$$

En remplaçant par le vecteur contrainte, on a donc :

$$\left\{ \vec{T}(M, \vec{n})dS \quad \overrightarrow{GM} \wedge \vec{T}(M, \vec{n})dS \right\}_G$$

Intégrons ce torseur sur toute la surface  $S$  pour prendre en compte toutes les actions, et donc obtenir le torseur de cohésion à la section  $S$  exprimées au point  $G$  :

$$\begin{aligned} \left\{ \mathcal{T}_{\text{int}} \right\}_G &= \left\{ \mathcal{T}_{E_2 \rightarrow E_1} \right\}_G = \left\{ \vec{\mathcal{R}}_{E_2 \rightarrow E_1} \quad \vec{\mathcal{M}}_{G, E_2 \rightarrow E_1} \right\}_G \\ &= \left\{ \iint_S d\vec{F}(E_2 \rightarrow E_1) \quad \iint_S \overrightarrow{GM} \wedge d\vec{F}(E_2 \rightarrow E_1) \right\}_G \\ &= \left\{ \iint_S \vec{T}(M, \vec{n})dS \quad \iint_S \overrightarrow{GM} \wedge \vec{T}(M, \vec{n})dS \right\}_G \end{aligned}$$

# Expression détaillée des contraintes/composantes du torseur de cohésion

- Résultante du torseur de cohésion

$$\vec{\mathcal{R}}_G = \begin{Bmatrix} N \\ T_y \\ T_z \end{Bmatrix} \quad \text{D'où} \quad \vec{\mathcal{R}}_G = \iint_S d\vec{F}(E_2 \rightarrow E_1) = \iint_S \vec{T}(M, \vec{n}) dS = \begin{Bmatrix} N = \iint_S \sigma_{xx} dS \\ T_y = \iint_S \tau_{yx} dS \\ T_z = \iint_S \tau_{zx} dS \end{Bmatrix}$$

- Moment du torseur de cohésion

$$\vec{\mathcal{M}}_G = \begin{Bmatrix} M^t \\ M_y^f \\ M_z^f \end{Bmatrix} \quad \text{D'où} \quad \vec{\mathcal{M}}_G = \iint_S \overrightarrow{GM} \wedge d\vec{F}(E_2 \rightarrow E_1) = \iint_S \begin{Bmatrix} 0 \\ y \\ z \end{Bmatrix} \wedge \begin{Bmatrix} \sigma_{xx} \\ \tau_{xy} \\ \tau_{xz} \end{Bmatrix} dS$$

$$\vec{\mathcal{M}}_G = \begin{Bmatrix} M^t = \iint_S (y \tau_{zx} - z \tau_{yx}) dS \\ M_y^f = \iint_S z \sigma_{xx} dS \\ M_z^f = - \iint_S y \sigma_{xx} dS \end{Bmatrix}$$